

미사일 유도 시스템의 비례항법의 해에 관한 연구

A study on the solution of proportional navigation in missile guidance system

김 경중, 권 철, 이희진, 박민용

연세대학교 전자 공학과

서울시 서대문구 신촌동 134

E-mail: kkj@yeics.yonsei.ac.kr

PPN에서 기동하는 목표물에 대한 목표물과 미사일간의 운동 방정식에 의사선형화(Quasilinearization)를 적용하여 해를 구할 때 의사선형화를 직접 적용하지 못하고 퍼터베이션(Perturbation) 정리를 적용한 후 의사선형화를 적용해야만 했다. 본 논문에서는 운동 방정식에 의사선형화 기법을 직접 적용할 수 있는 방법을 제안한다. 전투기하를 변경시킨 후 미사일의 속도 벡터, 목표물의 속도 벡터와 이들의 상대 속도 벡터에 코사인 법칙을 적용하여 사이 각을 추정할 수 있다. 이렇게 추정한 사이 각을 이용하여 목표물의 기동을 나타낸다. 이 새로운 함수로 운동 방정식을 표현하면 의사선형화를 직접 적용할 수가 있다. 미사일과 목표물의 거리와 시선 변화율의 관계가 명확히 나타내지며, 목표물까지의 도달 시간이 구해진다.

1. 서론

PPN은 전투 기하(Engagement Geometry)를 표현한 식이 비선형이 심하기 때문에 명확한 해를 구할 수 없어 정성적인 분석[2]과 선형화 방법[5,6]이 쓰여 왔다. 하지만 이 선형화 방법에 의한 해는 전투 기하가 선형영역에서 많이 벗어날 경우 부정확해지기 때문에 기동 목표물에 대해서 적당하지가 않다.

최근 들어 Becker[1]에 의해 기동하지 않는 목표물에 대해서 복소 평면상에서 미로모파(Meromorphic) 함수에 대한 Mittag-Leffler 확장이론을 이용하여 해를 구하는 방법이 발표되었으며 나아가 랜덤하게 기동하는 목표물에 대한 명중조건에 관한 연구가 이루어졌지만 기동 목표물에 대한 완전한 형태의 PPN의 해가 아직 나오지 않았다. 또한 의사선형화 기법을[3][4] 적용하는 연구가 시도되었는데 경로 패러미터(Parameter)가 고려되는 한도 내에서는 꽤 정확한 결과를 보여준다.

본 논문에서는 기동 목표물에 대해서 의사선형화를 적용함에 있어 미사일과 목표물의 속도벡터 간의 사이 각을 이용하여 목표물의 기동을 나타냄으로써 운동 방정식을 새로운 변수로 표현하여 Shukla와 Mahapatra[3]가 이용한 퍼터베이션(Perturbation) 급수를 이용하지 않고 직접 의사선형화를 적용하여 해를 구한다.

2. 변경된 전투 기하를 이용한 PPN의 의사선형화

그림1과 같이 기동 목표물에 대한 일반적인 형편주적의 경우를 고려한다. 또한 정역학 만으로도 비선형성이 심해 다루기가 어려우므로 다른 물리적인 요소들은 고려하지 않기로 한다.

2.1 PPN에서의 운동방정식의 표현

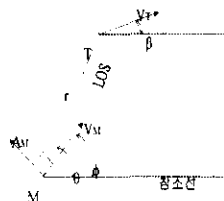


그림 1 미사일과
목표물간의 전투 기하

목표물의 속도 V_T 와 미사일의 속도 V_M 을 시선(LOS)에 수직인 속도와 평행인 속도로 분해하면 다음과 같은 운동 방정식(Motion Equation)을 얻을 수 있다.

$$\dot{r} = V_T \cos(\theta - \beta) - V_M \cos(\theta - \phi) \quad (1)$$

$$\dot{r}\beta = -V_T \sin(\theta - \beta) + V_M \sin(\theta - \phi) \quad (2)$$

이때 $\beta = kt$ 이고 $k = A_p/V_T$ 이다. k 는 목표물의 회전율(Turn rate)을 나타낸다.

여기에서 PPN의 정의 즉,

$$\dot{\phi} = N \dot{\theta} \quad (3)$$

을 적용하면,

$$\dot{\phi} = \dot{\phi}_0 + N(\theta - \theta_0) \quad (4)$$

를 얻을 수 있고 위 식(4)를 재배치하면

$$\theta - \dot{\phi} = (1-N)\theta - (\dot{\phi}_0 - N\theta_0) = b\theta - c \quad (5)$$

식 (5)와 같이 얻을 수 있다. 이때 $b=1-N$, $c=\dot{\phi}_0 - N\theta_0$ 이다.

식 (5)를 식 (1)과 (2)에 대입하면

$$\dot{r} = V_T \cos(\theta - \beta) - V_M \cos(b\theta - c) \quad (6)$$

$$r \dot{\theta} = -V_T \sin(\theta - \beta) + V_M \sin(b\theta - c) \quad (7)$$

식 (6), (7)과 같이 얻을 수 있다.

2.2 变경된 전투 기하를 이용한 운동방정식의 표현

미사일의 속도 벡터와 목표물의 속도 벡터 사이의 각을 이 두 속도 벡터와 상대속도 벡터간의 상호관계를 이용하여 추정할 수 있으며 이 각을 이용하여 목표물의 기동, 즉 β 를 추정할 수 있다. 그림2와 같이 전투 기하를 변강시켜 식(6)과 (7)의 β 항을 시간 함수가 포함되지 않은 식으로 표현할 수 있다. 그림 2에서 속도벡터 V_M 과 V_T 가 이루는 각을 γ 라 하면, γ 는 식(8),(9)과 같이 ϕ 와 β 로써 표현할 수 있다.

$$\gamma = \phi - \beta \quad (8)$$

$$\theta - \beta = \theta - \phi + \gamma \quad (9)$$

의 식을 이끌어낼 수 있고 이 식은 식 (5)를 적용해 다시 다음과 같이 표현할 수 있다.

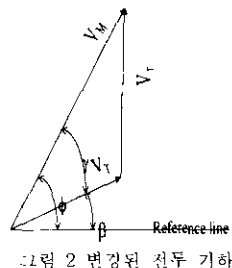


그림 2 变경된 전투 기하

$$\theta - \beta = b\theta - c + \gamma \quad (10)$$

여기에서 다시 그림2의 전투 기하에 코사인 법칙 (Law of Cosine)을 적용하여 γ 에 대한 식으로 나타내면 식(11)과 같이 표현된다.

$$\gamma = \arccos \left[-\frac{V_M^2 + V_T^2 - V_r^2}{2V_M V_T} \right] \quad (11)$$

그러면 식(6),(7)을 다음과 같이 다시 쓸 수 있다.

$$\dot{r} = V_T \cos(b\theta - c + \gamma) - V_M \cos(b\theta - c) \quad (12)$$

$$r \dot{\theta} = -V_T \sin(b\theta - c + \gamma) + V_M \sin(b\theta - c) \quad (13)$$

2.3 변경된 기하를 이용한 운동방정식의 의사선형 해

이제 이 방정식에 의사선형화를 적용하기로 한다. 먼저 함수 공간(Function Space)에서 테일러 급수 전개(Taylor Series Expansion)를 하여 확장한 다음 2차 이상의 항을 절단함으로써 의사선형화를 진행해 나간다

$$r \frac{d\theta_n}{dr} = g_{n-1} + h_{n-1}(\theta_n - \theta_{n-1}) \quad (14)$$

$$\frac{dt_n}{dr} = d_{n-1} + e_{n-1}(\theta_n - \theta_{n-1}) \quad (15)$$

식(12),(13)에 테일러 급수 확장을 하면 식 (14),(15) 와 같이 되며 이 때

$$h_{n-1} = h(\theta_{n-1}) \triangleq -\frac{\partial g}{\partial \theta} \Big|_{\theta=n-1} \quad (17)$$

$$g_{n-1} \triangleq g(\theta_{n-1}) \quad (18)$$

$$e_{n-1} = e(\theta_{n-1}) \triangleq -\frac{\partial d}{\partial \theta} \Big|_{\theta=n-1} \quad (19)$$

$$d_{n-1} \triangleq d(\theta_{n-1}) \quad (20)$$

으로 정의된다.

여기에서 $d(\theta)$, $e(\theta)$, $g(\theta)$, $h(\theta)$ 는 각각 다음과 같다.

$$\frac{dt}{dr} = \frac{1}{V_T \cos(b\theta - c + \gamma) - V_M \cos(b\theta - c)} = d(\theta) \quad (21)$$

$$r \frac{d\theta}{dr} = \frac{-V_T \sin(b\theta - c + \gamma) + V_M \sin(b\theta - c)}{V_T \cos(b\theta - c + \gamma) - V_M \cos(b\theta - c)} = g(\theta) \quad (22)$$

$$\begin{aligned} e(\theta) &= -\frac{\partial d(\theta)}{\partial \theta} \\ &= \frac{b(V_T \sin(b\theta - c + \gamma) - V_M \sin(b\theta - c))}{(V_T \cos(b\theta - c + \gamma) - V_M \cos(b\theta - c))^2} \\ &\quad + \gamma' \frac{V_T \sin(b\theta - c + \gamma)}{(V_T \cos(b\theta - c + \gamma) - V_M \cos(b\theta - c))^2} \end{aligned} \quad (23)$$

$$\begin{aligned} h(\theta) &= -\frac{\partial g(\theta)}{\partial \theta} \\ &= -\frac{bV_r^2}{(V_T \cos(b\theta - c + \gamma) - V_M \cos(b\theta - c))^2} \end{aligned}$$

$$-\frac{V'}{2} \frac{V_T^2 - V_M^2 + V_r^2}{\{V_T \cos(b\theta - c + V) - V_M \cos(b\theta - c)\}^2} \quad (24)$$

위 식 (23), (24)에서 변수 V 의 θ 에 관한 미분은 다음과 같이 표현된다.

$$V' = \frac{dV}{d\theta} = \frac{dV}{dt} / \frac{d\theta}{dt} = \dot{V} / \dot{\theta} \quad (25)$$

$$\dot{V} = -\frac{V_r \dot{V}_r}{V_M V_T \sqrt{1 - \left[\frac{V_M^2 + V_T^2 - V_r^2}{2V_M V_T} \right]^2}} \quad (26)$$

그러므로 V' 을 다시 쓰면

$$V' = -\frac{V_r \dot{V}_r}{\theta V_M V_T \sqrt{1 - \left[\frac{V_M^2 + V_T^2 - V_r^2}{2V_M V_T} \right]^2}} \quad (27)$$

와 같이 나타낼 수 있다.

의사선형화에 적용하기 위해 초기 값들을 구하면 다음과 같다.

$$v_i = \arccos \left[-\frac{V_M^2 + V_T^2 - V_{ri}^2}{2V_M V_T} \right] \quad (28)$$

$$V'_i = -\frac{V_n \dot{V}_n}{\theta_i V_M V_T \sqrt{1 - \left[\frac{V_M^2 + V_T^2 - V_n^2}{2V_M V_T} \right]^2}} \quad (29)$$

또한 $\theta_0(r)$ 에 대한 초기 근사화가 필요한데 이 값을 초기 LOS 각 θ_i 로 선택함으로써 분석적 표현에 단순화를 가져오게 된다. 즉,

$$\theta_0(r) = \theta_i \quad (30)$$

다음으로, 식 (21-24), (28-30)를 이용하여 다음 상수들을 정의한다.

$$D_0 = -\frac{1}{V_{rl}} \quad (31)$$

$$E_0 = -\frac{b r_i \dot{\theta}_i}{V_{rl}^2} + V' \frac{V_T \sin(b\theta_i - c + v_i)}{V_{rl}^2} \quad (32)$$

$$G_0 = -\frac{r_i \dot{\theta}_i}{V_{rl}} \quad (33)$$

$$H_0 = -\frac{b V_{rl}^2 - V_i'}{V_{rl}^2} - \frac{V_T^2 - V_M^2 + V_n^2}{2V_{rl}^2} \quad (34)$$

위 식 (31), (32), (33), (34)에서 V_r 은 상대속도이고 V_n 은 그 초기 치이며, V_{rl} 은 LOS성분의 상대속도로써 $V_{rl} = -\dot{r}$ 이고 V_{rl} 은 그 초기 치이다.

위에서 정의한 4개의 상수를 식 (15), (16)에 대입하면 $n=1$ 에 대해서 다음과 같은 상계수 미분방정식이 얻어진다.

$$r \frac{d\theta_1}{dr} = G_0 + H_0(\theta_1 - \theta_i) \quad (35)$$

$$\frac{dt_1}{dr} = D_0 + E_0(\theta_1 - \theta_i) \quad (36)$$

식 (35), (36)의 방정식은 $\theta_1(r_i) = \theta_i$, $t_1(r_i) = 0$ 의 초기조건에 따른다.

식 (35)로부터 θ_1 에 대한 해가 다음과 같이 얻어진다.

$$\theta_1 = \theta_i + \frac{G_0}{H_0} \left(\left(\frac{r}{r_i} \right)^{H_0} - 1 \right) \quad (37)$$

그리고 식(36)을 식(35)에 대입한 후 적분하면 다음과 같은 결과를 얻는다.

$$t_1 = r_i \left[\left(D_0 - \frac{E_0 G_0}{H_0} \right) \left(\frac{r}{r_i} - 1 \right) + \frac{E_0 G_0}{H_0 (H_0 + 1)} \left(\left(\frac{r}{r_i} \right)^{H_0+1} - 1 \right) \right] \quad (38)$$

이상에서 보인바와 같이 θ 를 r 에 대한 함수로 명확히 나타낼 수 있을 뿐 아니라 역으로 r 을 θ 의 함수로 나타낼 수 있어 r 에 따른 θ 의 반응을 알 수 있음을 물론이고 θ 의 변화에 따른 r 의 반응을 알 수 있다. 또한 어떠한 비행상수 N 의 값에 대해서도 t 를 명확히 표현할 수가 있다.

이상에서 얻은 식을 이용하여 미사일의 속도벡터에 수직인 측면 가속도 A_M 을 다음과 같이 구할 수 있다.

$$A_M = N V_M (d\theta/dr) / (dt/dr) \quad (39)$$

최종적으로 식(41)과 같은 결과가 된다.

$$A_M = \frac{N V_M V_{rl}}{r_i} \frac{r_i \dot{\theta}_i}{V_{rl}} \left(\frac{r}{r_i} \right)^{H_0-1} \quad (40)$$

3. 기존 방법에 의한 의사선형 해의 비교

구한 해가 기동하지 않는 목표물에 대해서도 유효함을 보이며 기존의 퍼터베이션 정리를 이용한 해와 비교하도록 한다.

3.1 기동하지 않는 목표물에 대한 해의 비교

기동하지 않는 목표물의 경우 $A_T = 0$ 이므로 이 때 $\beta = 0$ 이 된다.

식 (8)에 $\beta = 0$ 을 대입하면

$$V = \phi \quad (41)$$

$$V' = \frac{dV}{d\theta} = \frac{d\phi}{d\theta} = \frac{\dot{\phi}}{\dot{\theta}} = \frac{N \dot{\theta}}{\dot{\theta}} = N \quad (42)$$

이 되고 $\Phi = N\theta + c$ 이므로 식 (9)는 다음과 같아 다시 쓸 수 있다.

$$b\theta - c + \gamma = b\theta - c + \Phi = (1 - N)\theta - c + \Phi = \theta$$

$\gamma' = N$ 을 식(4-27)의 $h(\theta)$ 에 대입하면

$$h(\theta) = \frac{-V_T^2 - bV_M^2 + (1+b)V_TV_M \cos(N\theta + c)}{(V_T \cos(\theta) - V_M \cos(b\theta - c))^2}$$

(43)

와 같이 된다. 이는 [4]에서 구한 식과 동일하다. 이로써 $A_T = 0$ 이면 기동하지 않는 목표물의 경우에 대한 해가 구해지는 것을 알 수 있다.

그림 5-2와 5-3은 θ 와 r 의 관계를 나타내고 있다. 목표물의 속도 $V_T = 300 \text{ m/s}$, 미사일의 속도 $V_M = 900 \text{ m/s}$, 미사일과 목표물간의 초기 거리 $r_i = 5000 \text{ m}$ 로 한다.

3.2 기동 목표물에 대한 해의 비교

그림 3 ~ 그림 8은 기동하는 목표물에 대한 결과를 나타내고 있다. 그림 3~그림 5은 전투 기하가 꼬리물기, 즉 선형에 가까울 때를 나타내고 있다. 그림에서 볼 수 있듯이 선형에 가까울 때는 Shukla의 결과가 제안된 방법에 의한 결과보다 더 정확한 값에 가깝지만 제안된 방법에 의한 결과 역시 정확한 값과 차이가 크지 않음을 볼 수 있다.

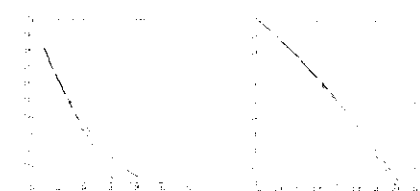


그림 3 $N=2, \theta_i=20$, 그림 4 $N=3, \theta_i=20$,
 $\Phi_i=10, A_T=1g$ $\Phi_i=10, A_T=1g$

(—: 정확한 해의 결과, - - : Shukla의 결과,
- · - : 제안된 방법에 의한 결과)

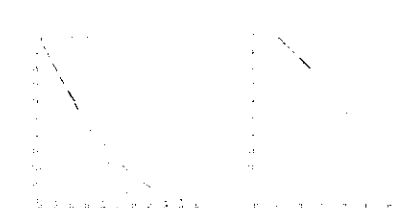


그림 5 $N=3, \theta_i=20$, 그림 6 $N=2, \theta_i=60$,
 $\Phi_i=10, A_T=2g$ $\Phi_i=15, A_T=1g$

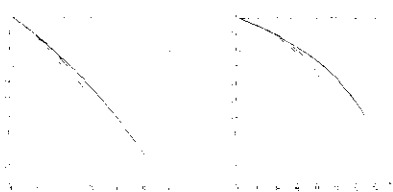


그림 7 $N=2, \theta_i=60$, 그림 8 $N=3, \theta_i=60$,
 $\Phi_i=15, A_T=2g$ $\Phi_i=15, A_T=2g$

그림 6 ~ 그림 8은 전투 기하가 선형에서 벗어질 때의 결과를 보여주고 있다.

4. 결론

이상에서 살펴본 바와 같이 제안된 방법은 전투 기하가 선형에 가깝고 목표물의 기동이 크지 않을 때는 Shukla에 의한 결과에 비해 정확한 값에 더 근접 하다고 말할 수 있지만 큰 차이를 보이지 않으며 기동이 크고 전투 기하가 선형에서 많이 벗어난 목표물의 경우에는 제안된 방법에 의한 해가 정확한 값에 더 가까움을 알 수 있다. 기동이 크고 선형에서 많이 벗어난 경우 제안된 방법을 활용한다면 분석할 때 좀 더 실제 경로 행동 등에 가깝게 해석할 수 있을 것이다.

5. 참고문헌

- [1] Becker, K., "Closed-Form Solution of Pure Proportional Navigation", *IEEE Trans. on Aerospace and Electronic Systems*, vol. 26, 3,
- [2] Guelman, M., "A qualitative study of proportional navigation", *IEEE Transactions on Aerospace and Electronic Systems*, AES-7, 4, 1971, 337-343
- [3] Mahapatra, P. R., Shukla, U. S., "Accurate Solution of Proportional Navigation for Maneuvering Targets", *IEEE Trans. on Aerospace and Electronic Systems*, vol.25, 1, 1989, pp.81-89
- [4] Shukla, U. S., Mahapatra, P. R., "Generalized Linear Solution of Proportional navigation", *IEEE Trans. on Aerospace and Electronic Systems*, vol.24, 3, 1988, pp.231-238
- [5] Locke, A. S., *Guidance*, Princeton, NJ: Van Nostrand, 1956
- [6] Jerger, J. J., *systems Preliminary Design*, Princeton, NJ: Van Nostrand, 1960